

# ЧУВСТВИТЕЛЬНОСТЬ МЕТОДА ЭЛЛИПСОМЕТРИИ В УСЛОВИЯХ ВОЗБУЖДЕНИЯ ПОВЕРХНОСТНЫХ ПОЛЯРИТОНОВ

*И.И.Буршта, Е.Ф.Венгер, С.Н.Завадский*

Институт физики полупроводников АН Украины,  
252650, Киев, Украина

(Поступило в Редакцию 30 октября 1993 г.)

Одним из путей повышения чувствительности эллипсометрических измерений при определении показателей преломления  $n$  и поглощения  $k$  является измерение поляризационных характеристик отраженного излучения в условиях возбуждения поверхностных поляритонов (ПП). Энергия ПП сосредоточена в тонком приповерхностном слое, что и обуславливает высокую чувствительность характеристик ПП к изменению состояния поверхности и границ раздела исследуемых систем. В работах [1–3] рассмотрены особенности эллипсометрической регистрации ПП. Оценка же чувствительности метода эллипсометрии ПП не проводилась. Цель предлагаемой работы — оценить чувствительность эллипсометрических углов отраженного излучения, возбуждающего ПП, к изменениям оптических параметров исследуемой поверхности и определить чувствительность метода эллипсометрии ПП при измерении поверхностных  $n$  и  $k$  путем решения обратной эллипсометрической задачи.

Будем считать, что ПП возбуждаются электромагнитным излучением ( $\lambda = 0.63 \mu$ ) на поверхности медного образца ( $n = 0.15$ ,  $k = -3.5$ ) методом нарушенного полного внутреннего отражения (НПВО) как в схеме Отто, так и Кретчмана с помощью стеклянной призмы НПВО ( $n = 1.46$ ). Проанализируем величины, характеризующие чувствительность эллипсометрии ПП при определении показателей преломления и поглощения на поверхности исследуемого образца.

Поскольку с помощью эллипсометра с целью определения двух оптических констант  $n$  и  $k$  измеряются два параметра  $\psi$  и  $\Delta$ , то можно говорить о чувствительности эллипсометрических углов к изменению одного из оптических параметров и чувствительности метода эллипсометрии ПП к измерению двух неизвестных оптических параметров.

Чувствительность эллипсометрических углов  $\psi$  и  $\Delta$  — это те минимальные изменения  $\delta\psi_{\min}$  и  $\delta k_{\min}$ , которые могут быть обнаружены с помощью измерения соответствующего угла, т.е.

$$\delta P_i^{(\Psi)} = \left( \frac{\partial \psi}{\partial P_i} \right)^{-1} \delta \psi_{\min}, \quad \delta P_i^{(\Delta)} = \left( \frac{\partial \Delta}{\partial P_i} \right)^{-1} \delta \Delta_{\min},$$

где  $i = 1, 2$ ;  $P_1 = n$ ;  $P_2 = k$ ;  $\delta \psi_{\min}$ ,  $\delta \Delta_{\min}$  — минимальные изменения эллипсометрических углов, которые еще могут быть зафиксированы эллипсометром [4].

В работе [4] показано, что величины  $\delta\psi_{\min}$  и  $\delta\Delta_{\min}$  зависят от модулей амплитудных коэффициентов отражения  $|r_s|$  и  $|r_p|$  по формулам

$$\delta\psi_{\min} = A/\sqrt{R}, \quad \delta\Delta_{\min} = A\sqrt{R}/(|r_s| \cdot |r_p|), \quad R = (|r_s|^2 + |r_p|^2)/2,$$

где  $A$  — коэффициент, зависящий от чувствительности и уровня шума фотоприемника, интенсивности источника и т.п.

Следовательно, выражения

$$\frac{\partial\psi}{\partial P_i}/\sqrt{R} \quad \text{и} \quad \frac{\partial\Delta}{\partial P_i}\sqrt{R}/(|r_s||r_p|)$$

характеризуют чувствительность соответствующего эллипсометрического угла к изменению  $P_i$  параметра.

Анализ этих величин показывает, что максимальная чувствительность угла  $\psi$  при измерении показателя преломления находится при угле возбуждения ПП  $\varphi = 45.5^\circ$ , при этом угол  $\Delta$  совершенно не чувствителен к изменениям  $n$ . При определении показателя поглощения наблюдается противоположная картина: при возбуждении ПП максимальная чувствительность к изменениям  $k$  уже у угла  $\Delta$ , т.е. в условиях возбуждения ПП при измерении только показателя преломления (величина  $k$  известна) необходимо измерять угол  $\psi$ , а при определении только показателя поглощения — угол  $\Delta$ . Также установлено, что чувствительность эллипсометрических углов к изменениям  $n$  и  $k$  зависит от величины зазора между исследуемой поверхностью и призмой НПВО в схеме Отто или от толщины пленки, нанесенной на основание призмы НПВО, в схеме Кретчмана. В обоих случаях она максимальна при толщине пленки или зазора  $d$ , равной оптимальной. Оптимальная толщина  $d_{opt}$  — это толщина, при которой глубина провала в угловых зависимостях коэффициента НПВО  $R$  максимальна ( $R$  имеет минимальное значение). Условия определения  $d_{opt}$  приведены в работе [5], в рассматриваемом нами случае  $d_{opt} = 1.01\lambda$  в схеме Отто (при воздушном зазоре) и  $d_{opt} = 0.08\lambda$  в схеме Кретчмана. При  $d = d_{opt}$  максимальные значения величин, характеризующих чувствительность углов  $\psi$  и  $\Delta$  к изменениям  $n$  и  $k$ , не зависят от реализуемой схемы метода НПВО, при  $d = d_{opt}$  эти же величины имеют значения, которые значительно выше, чем значения аналогичных величин, характеризующих чувствительность эллипсометрических углов в обычном методе эллипсометрии. Так, чувствительность к изменениям показателя преломления угла  $\psi$  возрастает в десятки раз, а угла  $\Delta$  — в сотни.

Однако чувствительность эллипсометрических углов к изменению одного из оптических параметров не определяет еще чувствительность метода эллипсометрии к определению путем решения обратной задачи показателей преломления и поглощения из измерения двух углов. Поэтому рассмотрим чувствительность самого метода эллипсометрии ПП, т.е. те минимальные изменения  $n$  и  $k$ , которые могут быть зафиксированы из измерений эллипсометрических углов,

$$\delta n = \left| \frac{\partial n}{\partial \psi} \right| \delta\psi_{\min} + \left| \frac{\partial n}{\partial \Delta} \right| \delta\Delta_{\min}, \quad \delta k = \left| \frac{\partial k}{\partial \psi} \right| \delta\psi_{\min} + \left| \frac{\partial k}{\partial \Delta} \right| \delta\Delta_{\min}.$$

С учетом зависимости величин  $\delta\psi_{\min}$  и  $\delta\Delta_{\min}$  от модулей коэффициентов отражения, учитывая правила дифференцирования неявных

функций, величины  $\delta n$  и  $\delta k$  можно представить в виде

$$\delta n = A \left( \left| \frac{\partial \Delta}{\partial k} \right| / \sqrt{R} + \left| \frac{\partial \psi}{\partial k} \right| \sqrt{R} / (|r_s||r_p|) \right) / J,$$

$$\delta k = A \left( \left| \frac{\partial \Delta}{\partial n} \right| / \sqrt{R} + \left| \frac{\partial \psi}{\partial n} \right| \sqrt{R} / (|r_s||r_p|) \right) / J, \quad J = \left| \frac{\partial \Delta}{\partial n} \frac{\partial \psi}{\partial k} - \frac{\partial \Delta}{\partial k} \frac{\partial \psi}{\partial n} \right|.$$

На рис. 1, 2 показаны результаты расчета угловых зависимостей величин  $\delta n$  (сплошная кривая) и  $\delta k$  (штриховая кривая) для двух методов определения показателей преломления и поглощения медной поверхности: обычная эллипсометрия (рис. 1) и эллипсометрия ПП (рис. 2). Из рисунков видно, что максимальная чувствительность эллипсометрии ПП почти на порядок выше, чем у обычной эллипсометрии. В отличие от чувствительности эллипсометрических углов чувствительность метода эллипсометрии ПП при углах возбуждения ПП в области оптимальных толщин зазоров слабо зависит от расстояния между исследуемой поверхностью и основанием призмы НПВО. На рис. 2 кривые 1 и 1' получены при  $d = d_{opt} = 1.01\lambda$ , кривая 2 — при  $d = 0.8\lambda$ , кривая 3 —  $d = 1.3\lambda$ . Эта особенность существенно упрощает экспериментальную реализацию метода эллипсометрии ПП.

Таким образом, проведение эллипсометрических измерений в условиях возбуждения ПП существенно повышает как чувствительность эллипсометрических углов к изменениям оптических параметров исследуемой поверхности, так и чувствительность самого метода эллипсометрии.

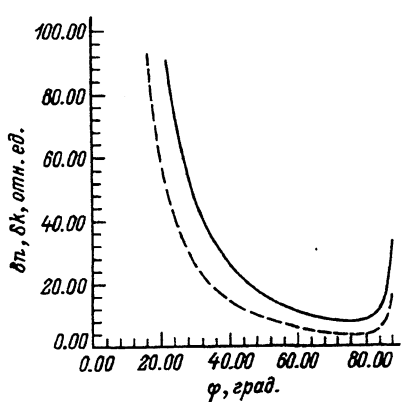


Рис. 1. Чувствительность метода обычной эллипсометрии к определению показателей преломления  $n$  (сплошная кривая) и поглощения  $k$  (штриховая кривая) ( $n = 0.15$ ,  $k = -3.5$ ,  $\lambda = 0.63\mu$ ).

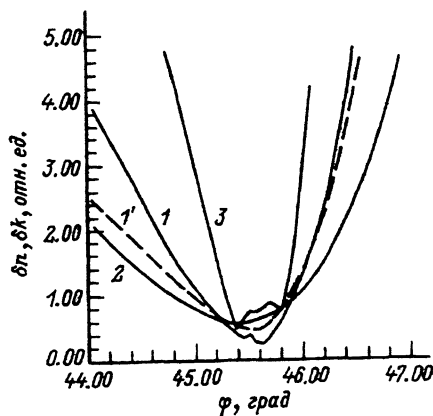


Рис. 2. Чувствительность метода эллипсометрии ПП к определению показателей преломления  $n$  (сплошная кривая) и поглощения  $k$  (штриховая кривая).  $n = 0.15$ ,  $k = -3.5$ ,  $\lambda = 0.63\mu$ ; 1 —  $d = 1.01\lambda$ , 2 —  $d = 0.8\lambda$ , 3 —  $d = 1.3\lambda$ .

## Список литературы

- [1] Abela F.A., Catolan L.A., Lopez-Rios T., Lafait O.J. // Thin Solid Films. 1972. Vol. 13. P. A35.
  - [2] Abela F.A. // Surf. Sci. 1976. Vol. 56. N 1. P. 237-250.
  - [3] Никитин А.К. Автореф. канд. дис. 1986. 14 с.
  - [4] Свиашев К.К., Семененко А.И., Семененко А.В. и др. // Опт. и спектр. 1977. Т. 42. Вып. 6. С. 1142-1147.
  - [5] Никитин А.К., Тищенко А.А. // Зарубежная радиоэлектроника. 1983. № 3. С. 38-56.
- 

04:09

© 1994 г.

Журнал технической физики, т. 64, в. 10, 1994

## ИСТОЧНИК СФЕРИЧЕСКОГО ВЧ РАЗРЯДА ПРИ ПОНИЖЕННОМ ДАВЛЕНИИ

Е.Т.Протасевич

Научно-исследовательский институт ядерной физики  
при Томском Политехническом институте им.С.М.Кирова,  
634061, Томск, Россия  
(Поступило в Редакцию 16 февраля 1994 г.)

В последние годы получили широкое развитие плазменные технологии, связанные с ВЧ разрядами. При этом наряду с традиционными схемами емкостного (ВЧЕ) и индукционного (ВЧИ) разрядов предлагаются использовать и более экзотические типы разрядов. Так, в [1] приведено описание конструкции и приведены некоторые результаты исследований ВЧ разряда шаровой конфигурации, который создавался за счет определенной ориентации возбуждающих обмоток на поверхности стеклянного сферического объема с внутренним диаметром 13 см. В таком разряде на частоте  $f = 310$  кГц удалось сформировать шарообразный плазмоид, сжимающийся от периферии к центру. По мнению автора [1], это обстоятельство может быть использовано в дальнейшем для получения плотной плазмы. Однако известно, что ВЧ разряд наиболее эффективен, когда частота возбуждения составляет не кГц, а единицы-десятки МГц. По этой причине сказать что-либо об эффективности сферического ВЧ разряда без проведения дополнительных исследований не представляется возможным.

В данной статье кратко описана ВЧ установка для получения сферического разряда, когда в качестве источника ионизации служил перестраиваемый на частоте ВЧ генератор с независимым возбуждением и системой стабилизации частоты ( $f = 36-37$  МГц,  $\tau = 10-75$  мс,  $F = 1-5$  Гц) [2,3].

Упрощенная схема источника сферического ВЧ разряда приведена на рис. 1 [1]. Возбуждающая обмотка представляла собой индуктор, витки которого размещались на поверхности кварцевого баллона в виде октаэдра. Подвод ВЧ мощности от генератора к нагрузке осуществлялся через вершины октаэдра при помощи 6 кабелей. При этом